

FIG. 1

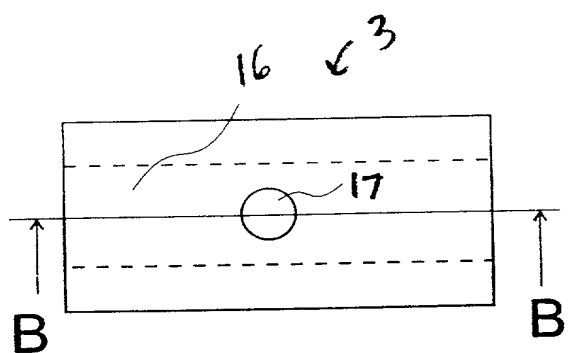


Fig. 2a

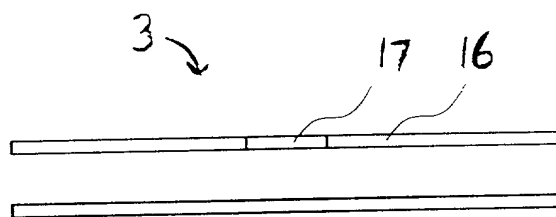


Fig. 2b

FIG. 3A

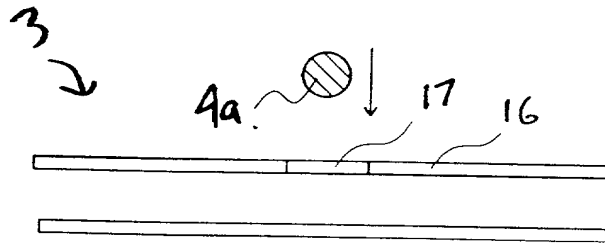


FIG. 3B

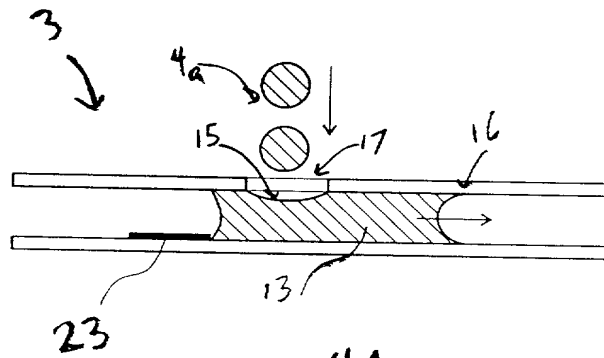
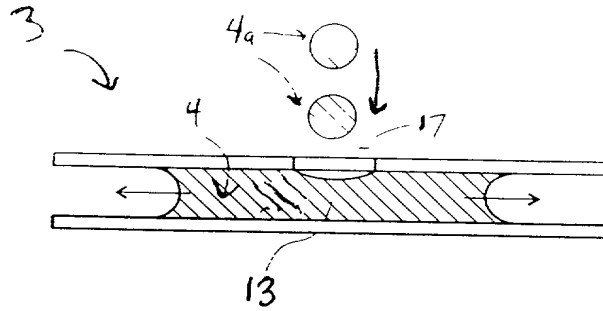


Fig. 4A

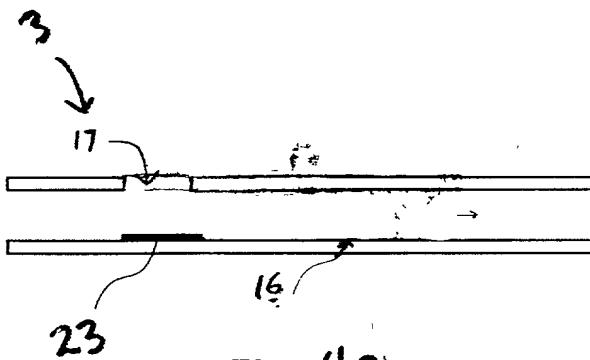


Fig. 4B

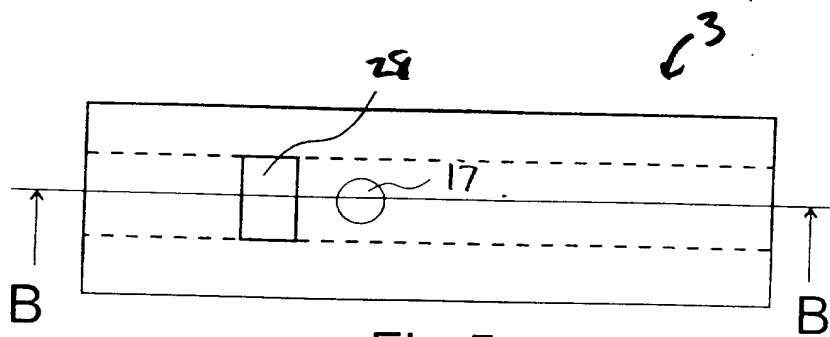


Fig. 5a

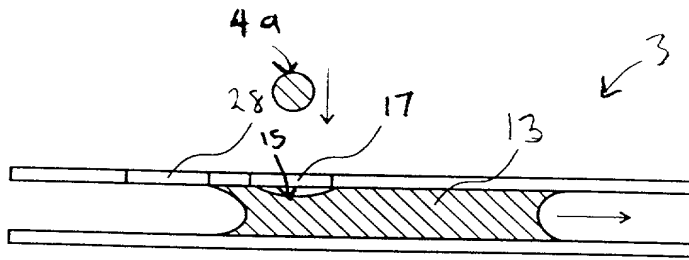


Fig. 5b

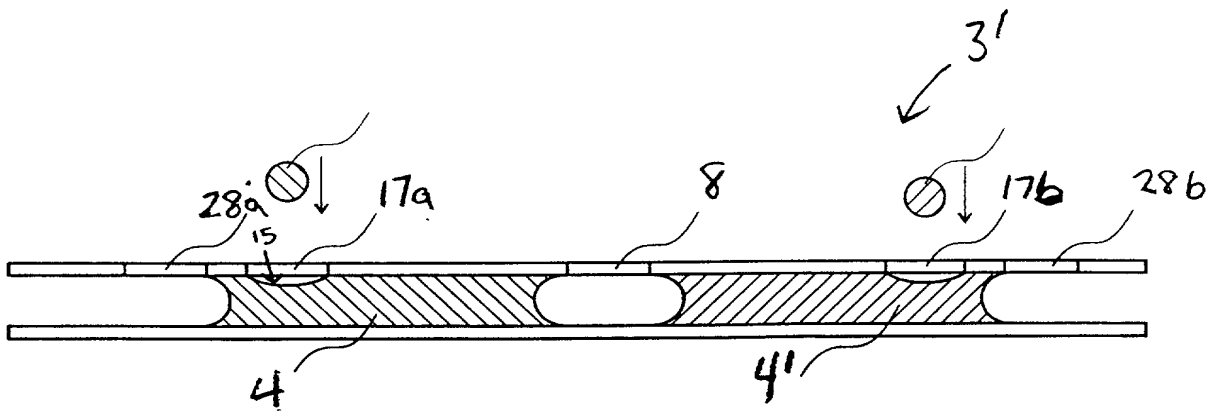


Fig. 6

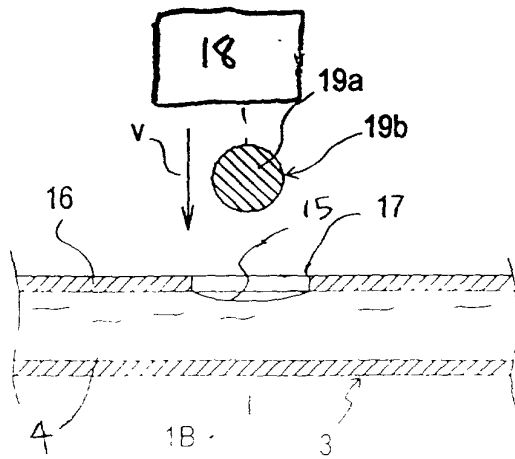


Fig. 9a

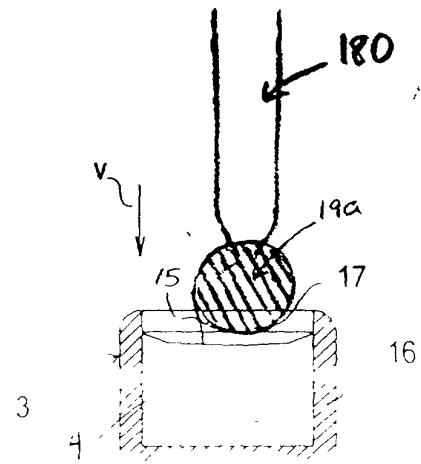


Fig. 9b

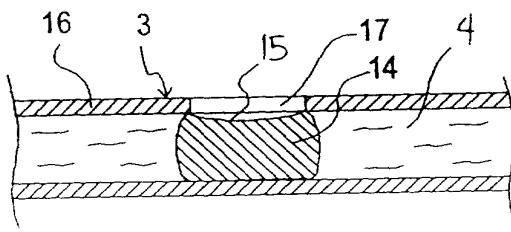


Fig. 9c

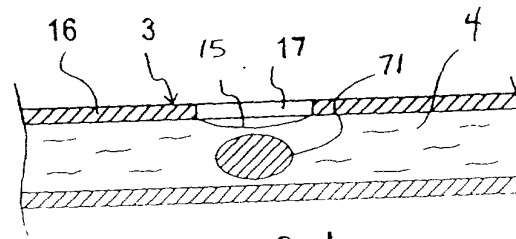


Fig. 9d

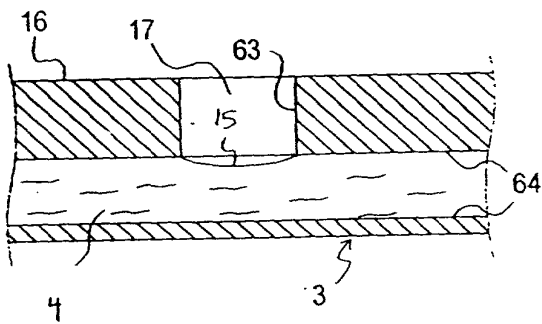


Fig. 9e

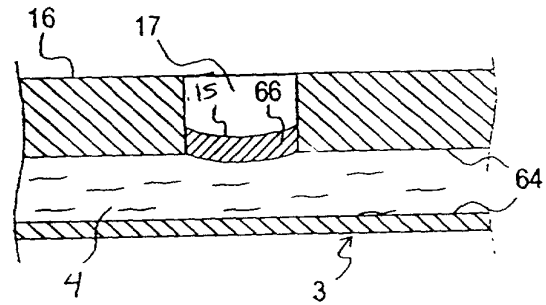


Fig. 9f

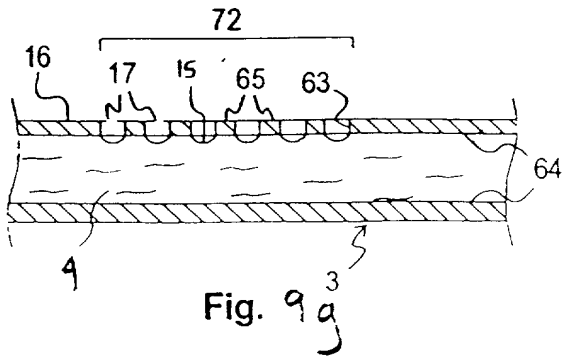


Fig. 9g

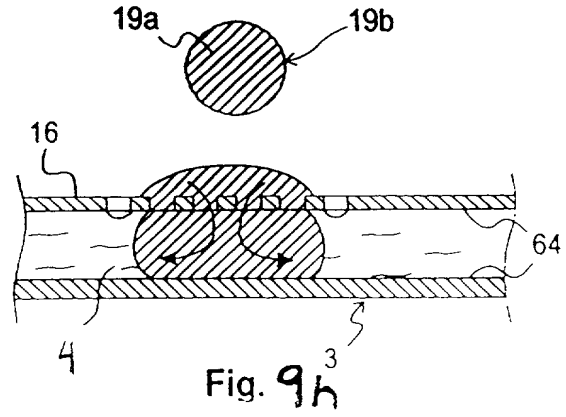


Fig. 9h

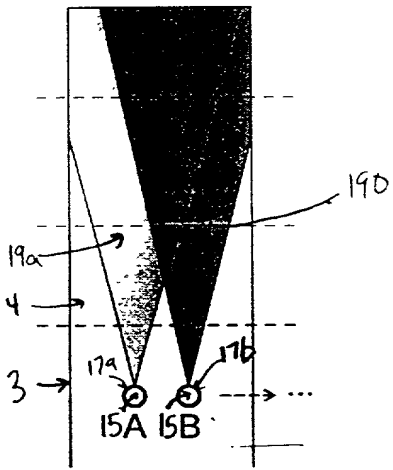


FIG 10a

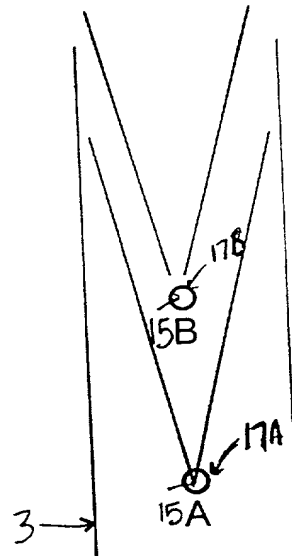


FIG 10b

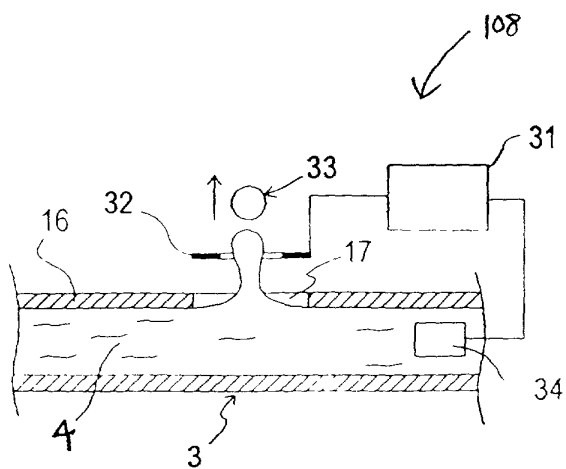


FIG. 12A

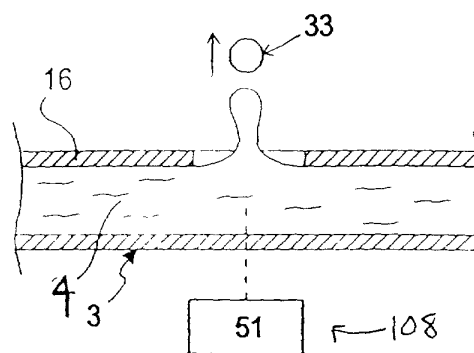


FIG. 12B

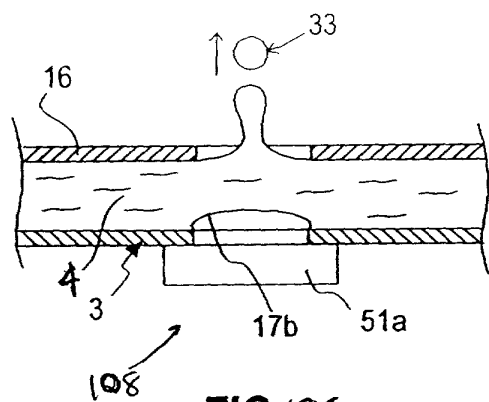


FIG. 12C

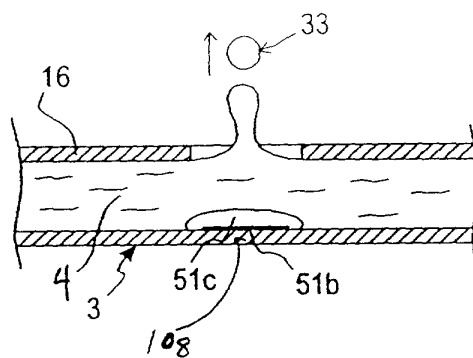


FIG. 12D

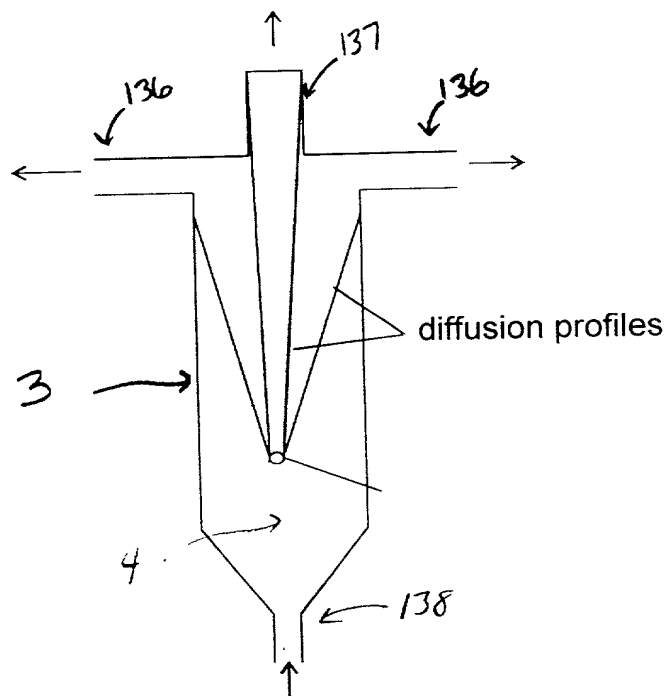


Figure 14

FIG. 13A

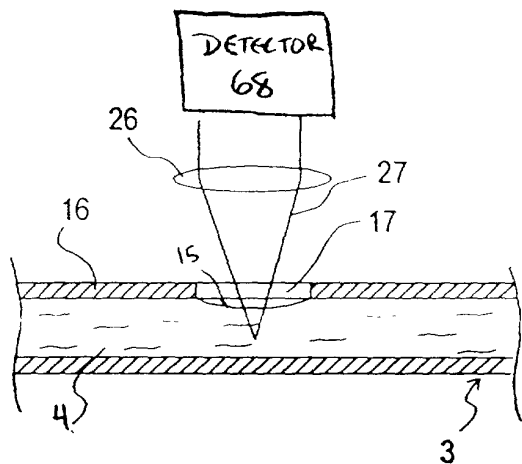
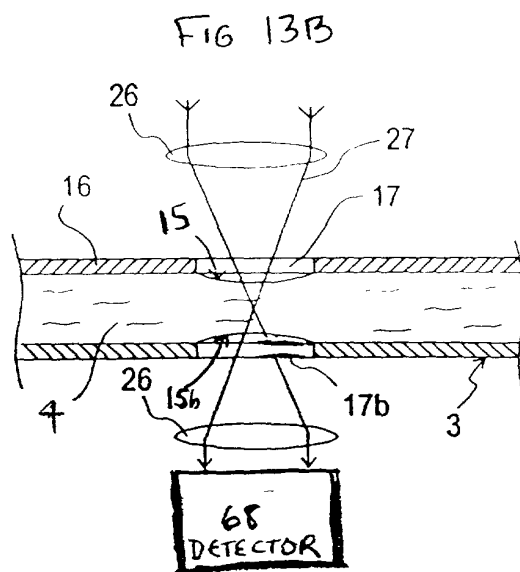


FIG. 13A



68
DETECTOR

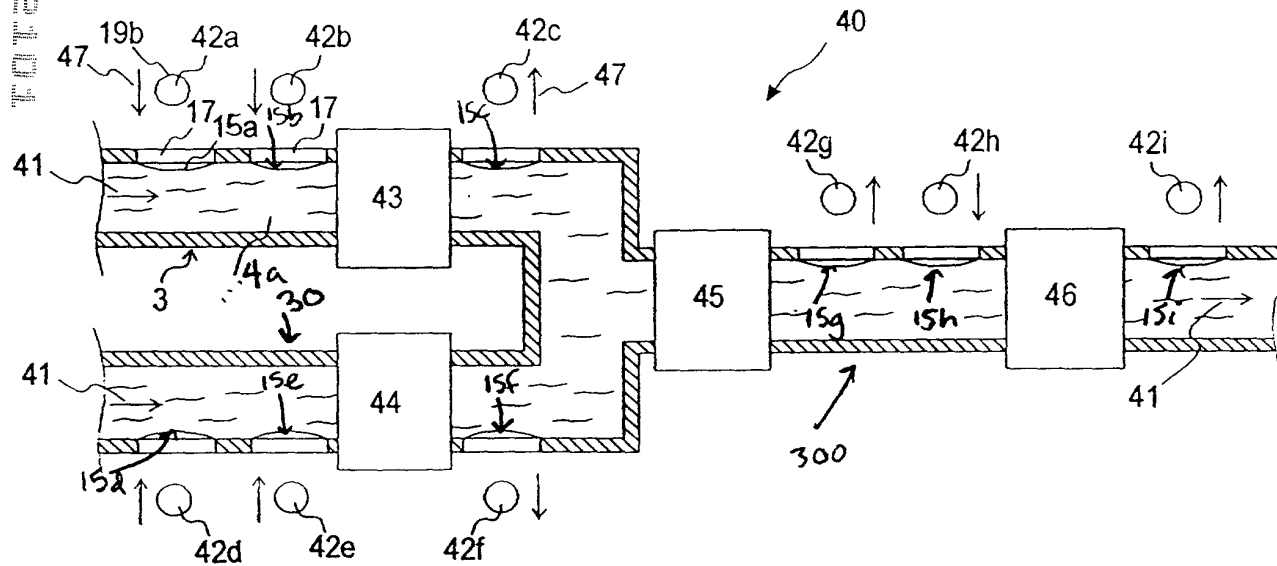


FIG. 15

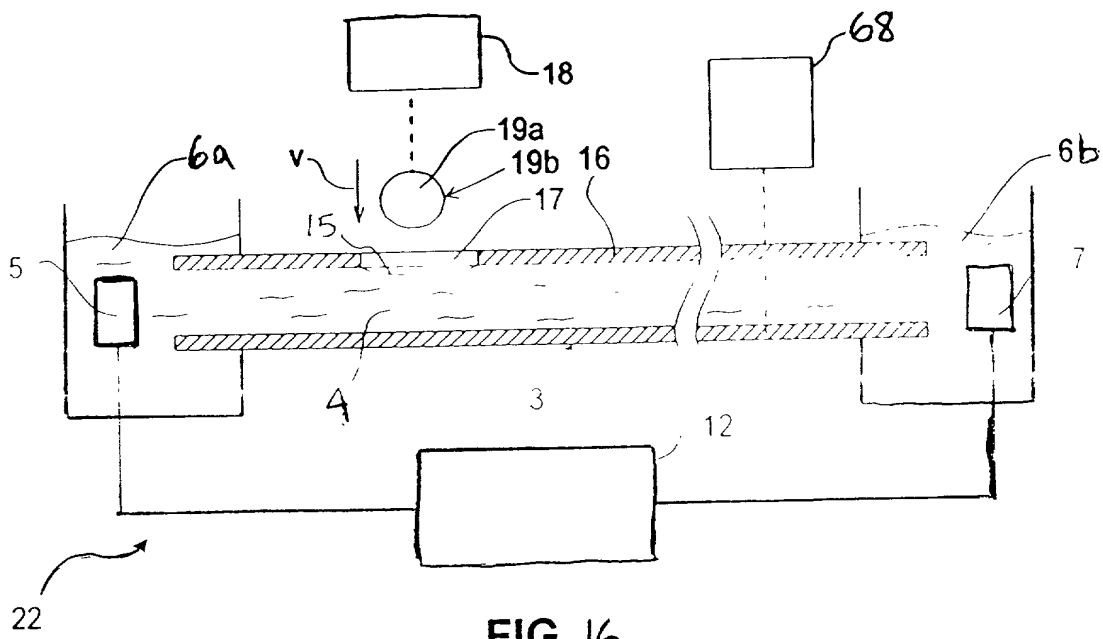


FIG. 16

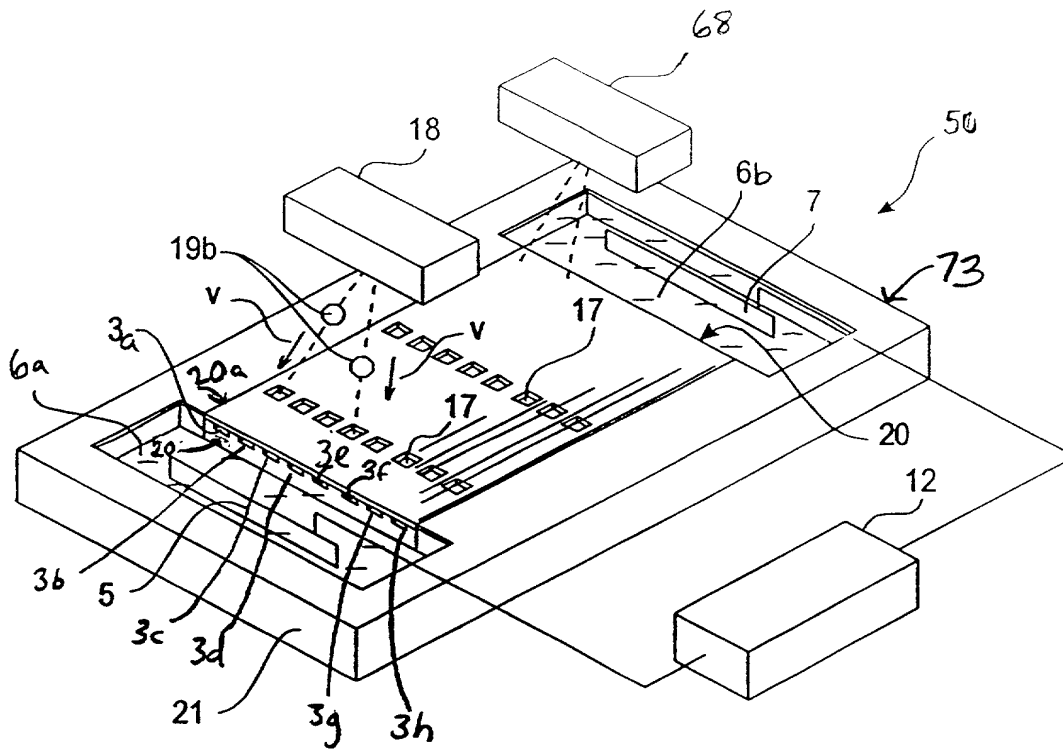


FIG. 17

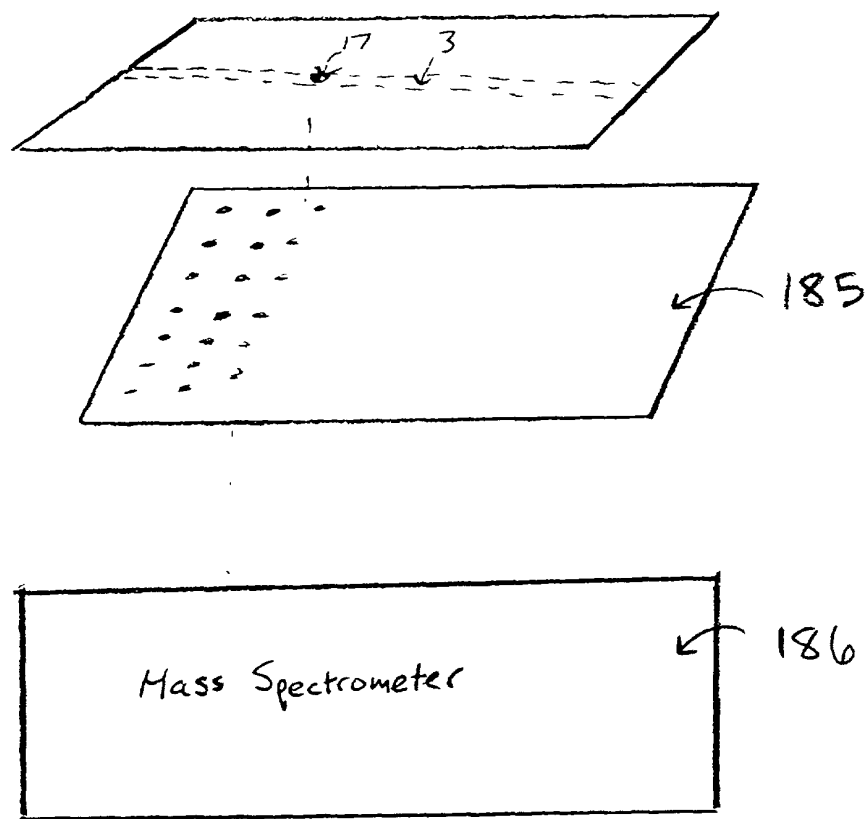


Figure 18

FIG 19B

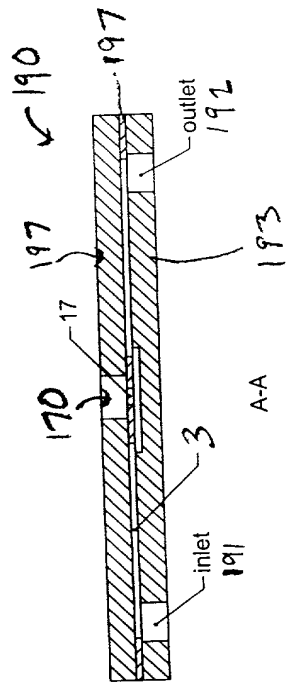
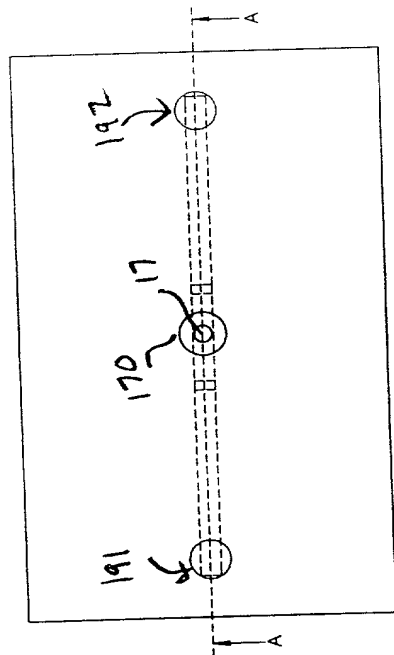


FIG 19C

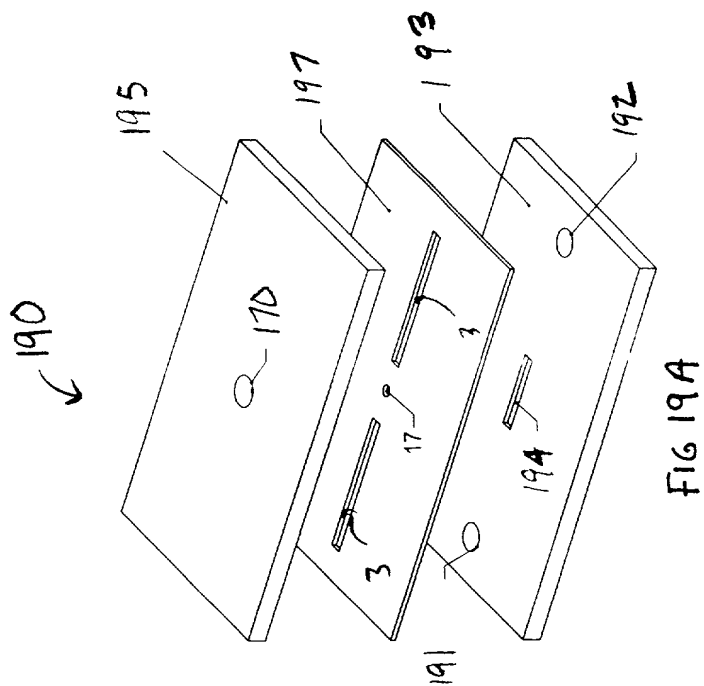


FIG 19A

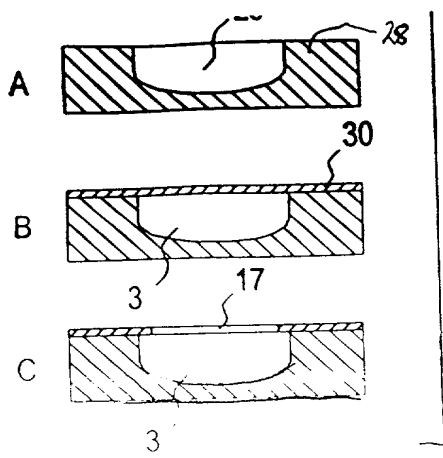


FIG. 20

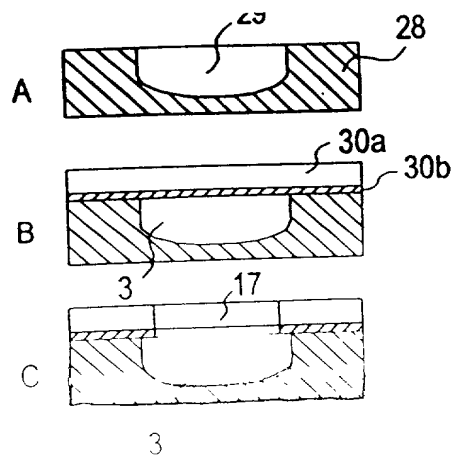


FIG. 21

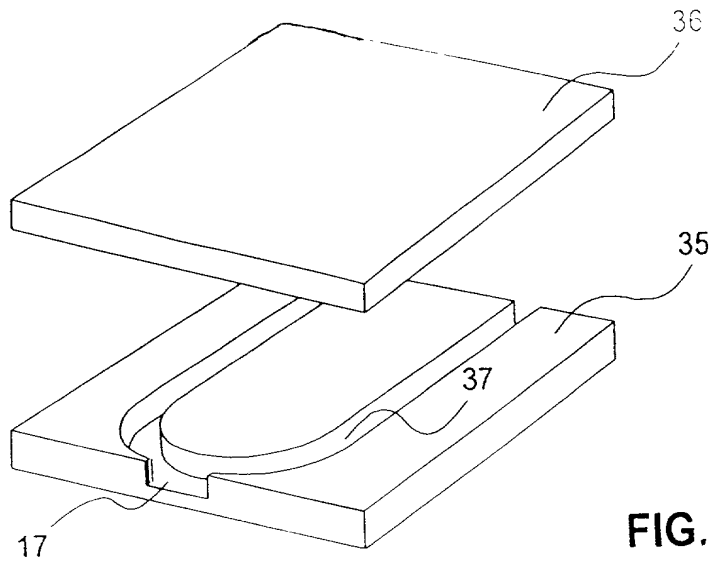


FIG. 22A

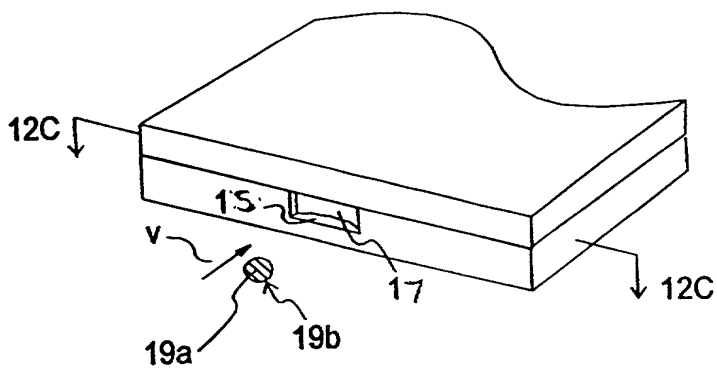


FIG. 22B

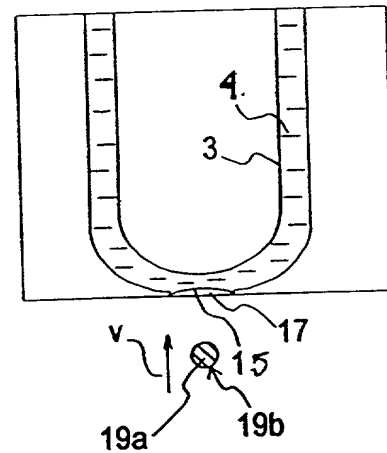


FIG. 22C